

Projet Farman DECORR

Evaluation de la DECORRélation entre canaux : application à la sécurisation des réseaux sans fil

(Thi Huyen Trang Nguyen et ***Jean-Pierre Barbot***) ∈ SATIE
(Romain Soulat et Laurent Fribourg) ∈ LSV

IFR Farman

1^{er} décembre 2014



Overview

- 1 Introduction
- 2 Modèle
- 3 Mesures du canal de propagation
- 4 Résultats
- 5 Conclusion et futurs travaux

- 1 Introduction
- 2 Modèle
- 3 Mesures du canal de propagation
- 4 Résultats
- 5 Conclusion et futurs travaux

Le fonctionnement des systèmes MIMO sans fil (wireless) repose sur l'hypothèse \Rightarrow les sous canaux radio sont **DECORR**élés

- Est-ce vrai ?
- Pourrions nous utiliser cette propriété pour sécuriser la transmission “wireless” de données sensibles ?
- Est-il possible d'atteindre le secret parfait ou la sécurité inconditionnelle définis dans les travaux de C. Shannon ?

Théorie de Shannon (résultats fondamentaux de la “Théorie de l’Information”)

- Capacité limitée de transmission sans erreur
 - transmission de données numérique fiable et efficace,
 - mise en œuvre de code correcteur d’erreur.
- Transmission parfaitement secrète Perfect secrecy of transmission [1]
 - protection des données de potentielles écoutes 😞
 - plusieurs approches traditionnelles en cryptographie,
 - principalement basées sur la génération de clef de cryptage (clefs statiques)

Encryptage dynamique basé sur l’observation du canal de propagation électromagnétique

[1] C. E. Shannon, “Communication Theory of Secrecy Systems,” *Bell Systems Technical Journal*, vol. 28, pp. 656–715, 1949.

Théorie de Shannon (résultats fondamentaux de la “Théorie de l'Information”)

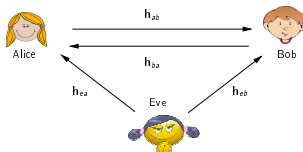
pour un canal Gaussien

$$C = B \cdot \log_2 \left(1 + \frac{S}{N} \right) \text{ [bits/s]}$$

[1] C. E. Shannon, “Communication Theory of Secrecy Systems,” *Bell Systems Technical Journal*, vol. 28, pp. 656–715, 1949.

- 1 Introduction
- 2 Modèle**
- 3 Mesures du canal de propagation
- 4 Résultats
- 5 Conclusion et futurs travaux

Modèle de canal



- **Alice et Bob** (nœuds légitimes) estiment respectivement les sous-canaux \hat{h}_{ab} et \hat{h}_{ba}

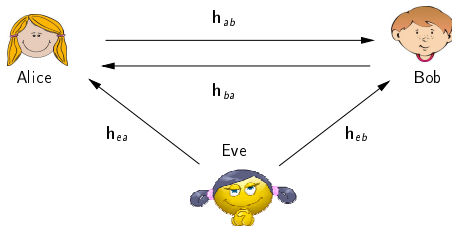
$$\begin{cases} \hat{h}_{ab} = h_{ab} + n_{ab} \\ \hat{h}_{ba} = h_{ba} + n_{ba} \end{cases} \quad (1)$$

- **Eve** écoute Alice et Bob à travers les sous-canaux \hat{h}_{ea} et \hat{h}_{eb}

$$\begin{cases} \hat{h}_{ea} = h_{ea} + n_{ea} \\ \hat{h}_{eb} = h_{eb} + n_{eb} \end{cases} \quad (2)$$

- **Alice et Bob** génèrent leur clef d'encryptage à partir des paramètres \rightsquigarrow "session key"
- **Eve** experiences independent characteristics of channel between Alice and Bob \rightsquigarrow impossible to get the key

Modèle de canal



Hypothèse

Les sous-canaux entre nœuds légitimes : sont réciproques

c.à.d. $h_{ab} = h_{ba}$

- 1 Introduction
- 2 Modèle
- 3 Mesures du canal de propagation**
- 4 Résultats
- 5 Conclusion et futurs travaux

Le canal de propagation UHF est :

- un système linéaire,
- supposé être invariant temporellement (au moins le temps de sa mesure),

⇒ complètement caractérisé par sa Réponse Impulsionnelle Complexe (RIC)

$$y_{\text{out}}(t) = h(t) \otimes x_{\text{in}}(t) = \int_{-\infty}^{+\infty} h(\tau) x(t - \tau) d\tau$$

où $\begin{cases} y_{\text{out}}, x_{\text{in}} & \text{respectivement l'entrée et la sortie,} \\ \otimes & \text{le produit de convolution,} \\ h(t) & \text{la réponse impulsionnelle complexe.} \end{cases}$

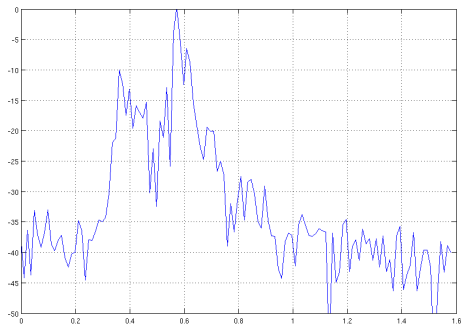
Dans notre problème, nous devons mesurer :

- $h_{ab} = h_{ba}$ la RIC liant Alice et Bob,
- h_{ea} la RIC utilisée par Eve pour écouter Alice,
- h_{eb} la RIC utilisée par Eve pour écouter Bob.

Ces RICs peuvent être mesurées à l'aide :

- d'un sondeur de canal (c.à.d. mesures des RICs dans le “domaine temporel”),
- un analyseur de réseau vectoriel (c.à.d. mesures de la fonction de transfert dans le domaine fréquentiel)
☹ durée de la mesure trop longue

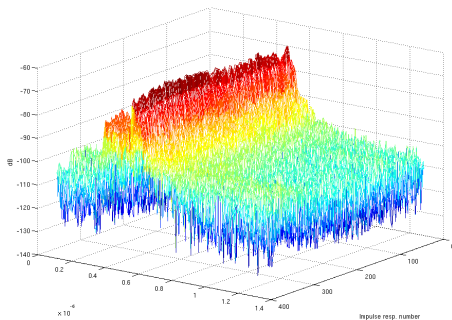
Exemple 1 : RIC mesurée (RIC individuelle)



Measurement parameters:

- carrier frequency $f_c = 2.2$ GHz,
- bandwidth around f_c , $B = 100$ MHz
- indoor context (Vélizy 2) 1st Impul. response. of a set of 360 CIRs

CIR measurement example 2 (here a set of 360 CIRs)



Measurement parameters:

- carrier frequency $f_c = 2.2$ GHz,
- bandwidth around f_c , $B = 100$ MHz
- indoor context (Vélizy 2) set of 360 CIRs (collect. with a rotating arm on a circle $R = 0.5$ m)

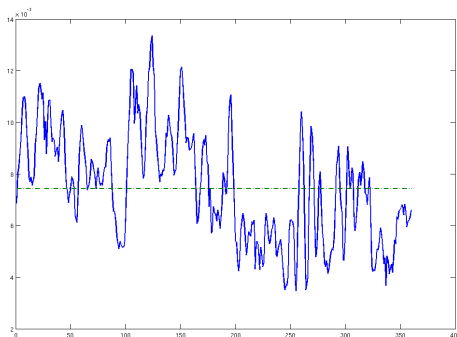
- 1 Introduction
- 2 Modèle
- 3 Mesures du canal de propagation
- 4 Résultats**
- 5 Conclusion et futurs travaux

- utilisation d'une base de données de mesures enregistrées (RICs),
- évaluation de la DECORRelation : "coeff. de corrélation", "information mutuelle" (information theory),
- generation de clef "session key" $\mathbf{K} = \mathbf{K}_a = \mathbf{K}_b$ à partir de $\hat{\mathbf{h}}_{ab}$ (1 pic et/ou 2 pics),
- utilisation de \mathbf{K} dans un schéma de codage "turbo-code" [2].

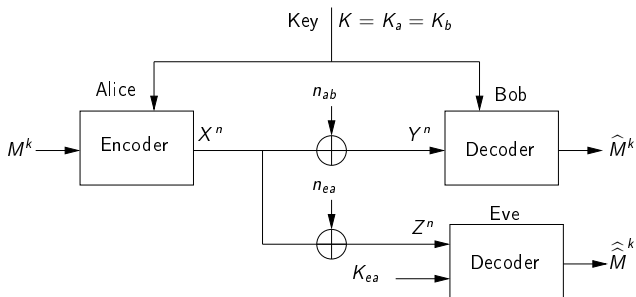
[2] T. H. T. Nguyen and J.-P. Barbot, "Joint error control and dynamic security coding," in the International IEEE Conference ATC'13, Ho Chi Minh City, Vietnam, Oct. 2013, pp. 285–290.

Key generator algorithm

- (i) determine $\text{Max}(i)$, the maximum peaks of the i^{th} CIR,
- (ii) estimate m , the median of the vector Max ,
- (iii) if $\text{Max}(i) \geq m$ then $K(i) = 1$, otherwise $K(i) = 0$.



Key vector \mathbf{K} used in an error control scheme

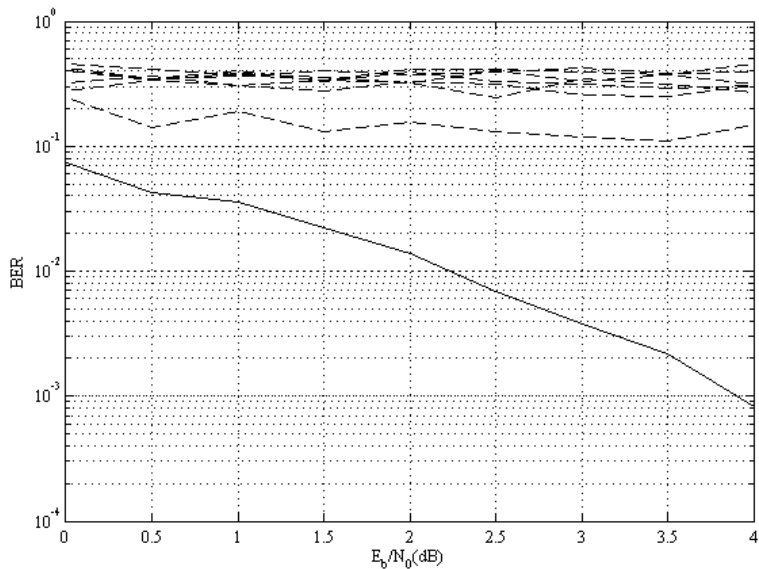


Evaluation de la DECORRelation : “Info mutuelle entre clefs” et coeff. de corrélation

Alice	Bob	Eve	Info. mut.	Corr-coeff.
Tx	pos60	pos30	0.1256	-0.4111
Tx	pos60	pos61	0.1634	0.4667
Tx	pos22	pos23	0.0108	-0.1222
Tx	pos22	pos24	0.0003	0.0222
Tx	pos22	pos18	0.0072	0.1000

Evaluation de la DECORRelation (après encryptage-desencryptage “turbo-code”)

			Mut. info. punct.	
Alice	Bob (\hat{M})	Eve (\hat{M})	Pic princ.	2 pics
Tx	pos22	pos23	4.3e-03	5.8e-04
Tx	pos22	pos24	1.7e-03	5.6e-03
Tx	pos22	pos18	5.7e-03	1.8e-04



- 1 Introduction
- 2 Modèle
- 3 Mesures du canal de propagation
- 4 Résultats
- 5 Conclusion et futurs travaux**

- 2 publications de conférence en 2014,
- Un jeu de mesure de **RICs est utilisable** :
 - évaluation de la DECORRelation,
 - l'amélioration de la DECORRelation due au schéma de codage a été testée,

Toutefois

- l'effort pour mieux **comprendre la relation entre** les “coefficients de **corrélation**” évalués et “l’**information mutuelle**” estimée,
- doit être pris en compte prudemment dans le **schéma d'encryptage** ⚠
- utilisation de “**compressive sensing**”.